

**Л.Л. ТОВАЖНЯНСКИЙ**, докт. техн. наук, проф., НТУ «ХПИ»,  
**О.Н. ЧУНЯЕВ**, канд. техн. наук, науч. сотр. НТУ «ХПИ»,  
**Л.О. ЧУНЯЕВА**, канд. техн. наук, ст. науч. сотр, НТУ «ХПИ»,  
**З.И. КОЛУПАЕВА**, канд. физ.-мат. наук, ст. науч. сотр, НТУ «ХПИ»

## **СОСТАВ И СТРУКТУРА ДИФФУЗИОННЫХ СЛОЕВ ОБРАЗУЮЩИХСЯ ПРИ ПОВЕРХНОСТНОМ МОДИФИЦИРОВАНИИ КОНСТРУКЦИОННЫХ СТАЛЕЙ ХРОМОМ**

Досліджено склад і структуру дифузійних шарів на конструкційних сталях, що утворюються під час обробки по технології дифузійного карбідного поверхневого легування (ДКПЛ) при застосуванні азотовмісних активаторів і негерметичних затворів. Головною фазою в покриттях, що утворюються, за зазначених умов, є змішаний нітрид хрому  $(\text{Cr}, \text{Fe})_2\text{N}$ . Встановлено, що при підвищенні температури обробки і терміну ізотермічної витримки, покриття  $(\text{Cr}, \text{Fe})_2\text{N}$  має текстуру з площинами  $(00l)$ , паралельно матеріалу підкладки.

Исследован состав и структура диффузионных слоев на конструкционных сталях, которые образуются при обработке по технологии диффузионного карбидного поверхностного легирования (ДКПЛ), при использовании азотсодержащих активаторов и негерметичных затворов. Главной фазой в покрытиях, которые образуются в указанных условиях, является смешанный нитрид хрома  $(\text{Cr}, \text{Fe})_2\text{N}$ . Установлено, что при повышении температуры обработки и времени изотермической выдержки, покрытие  $(\text{Cr}, \text{Fe})_2\text{N}$  имеет текстуру с плоскостями  $(00l)$ , параллельно материалу подложки.

The composition and structure of the diffusion layers that are formed on construction steels during diffusion carbide surface alloying (DCSA) processing with the use of nitrogen-containing activators and non hermetic seals have been researched. The main phase of the mentioned layers is mixed chromium nitride  $(\text{Cr}, \text{Fe})_2\text{N}$ . It is found, that elevation of the processing temperature and an increase in processing time the coating  $(\text{Cr}, \text{Fe})_2\text{N}$  has the texture with the plane  $(00l)$  parallel to the base material.

### **Актуальность темы.**

Развитие технологий поверхностного модифицирования сплавов с целью повышения их стойкости к износу и коррозии является одним из основных направлений современного материаловедения.

Как показали теоретические оценки и экспериментальные данные среди методов поверхностного легирования углеродистых сталей и чугуна, технология диффузионного карбидного поверхностного легирования (ДКПЛ) является одной из наиболее перспективных [1].

Она разработана в харьковском Национальном Техническом Университете “ХПИ” [2, 3, 4] и не имеет аналогов в мире. Фундаментальное отличие технологии ДКПЛ – химическая природа процесса. При этом, процесс ДКПЛ является самоорганизующимся, а образующийся в его ходе карбидный слой – термодинамически равновесным.

Помимо высокой твердости, карбиды переходных металлов, в сравнении с чистым металлом, обладают гораздо большей износостойкостью и устойчивостью к химическим взаимодействиям [5, 6].

Вместе с тем, при промышленном освоении технологии ДКПЛ, экономичность процесса зависит от необходимой номенклатуры компонентов шихты, а также от себестоимости и надежности используемого термического оборудования и оснастки. В ходе многочисленных исследований, было установлено, что качественные карбидные слои формируются в условиях применения безазотистых активаторов (таких как  $\text{HCl}$ ,  $\text{CCl}_4$ ,  $\text{CrCl}_2$ ,  $\text{TiCl}_4$ ), и герметичных реакционных камер, или вакуумных печей (с возможностью напуска реакционных газов) [5, 7]. Такое технологическое решение обуславливает высокую себестоимость обработки.

В связи с этим было проведено исследование состава защитных покрытий, образующихся при обработке по технологии ДКПЛ с применением азотсодержащего активатора ( $\text{NH}_4\text{Cl}$ ), раскислителя (ферросиликохром марки ФХС48), с использованием негерметичных контейнеров (снабженных буферным слоем, поглощающим кислород).

### **Методика исследования.**

В качестве материала исследования, применяли конструкционные стали Х12М и ШХ15. Базовые компоненты для исходного состава шихты: феррохром – 50 % марки ФХ003,  $\text{Al}_2\text{O}_3$  – 50 % марки А1, катализаторы, вводимые сверх базового состава –  $\text{NH}_4\text{Cl}$  5 %, , раскислитель – от 2,5 % – ферросиликохром марки ФХС48.

Термообработку, при защите образцов, проводили по следующим режимам: сталь Х12М температура  $T = 1075$  °C, время изотермической выдержки  $\tau = 4$  ч; сталь ШХ15  $T = 1115$  °C,  $\tau = 6$  ч.

Для изучения свойств диффузионного слоя использовали физические методы исследования. Рентгеноструктурный анализ проводили на рентгеновском дифрактометре ДРОН-2.0, в излучении железного анода. Определение элементного состава проводили методом рентгеновского флюоресцентного анализа, в области элементов от титана до урана.

## **Обсуждение результатов.**

Для исследования использовались образцы сталей X12M и ШХ15 с толщиной покрытия 10 – 12 и 40 мкм соответственно.

Полученные дифрактограммы представлены на рис. 1 и 2. Дифрактограмма покрытия, на стали X12M, представляет собой систему дифракционных линий, не принадлежащих ни одному из карбидов хрома, но хорошо укладывающихся в решетку  $(\text{Cr}, \text{Fe})_2\text{N}$ . Покрытие поликристаллическое, отношение интенсивности дифракционных линий близко к справочным данным. Более толстое покрытие, на стали ШХ15, так-же представляет собой нитрид хрома, но характеризуется текстурой.

На дифрактограмме (рис. 2) выявляются только отражения (002) и (004), т.е. наблюдается преимущественная укладка зерен плоскостями (001), параллельно поверхности подложки.

Наблюданная текстура достаточно совершенна – никаких других линий кроме (001) не выявляется.

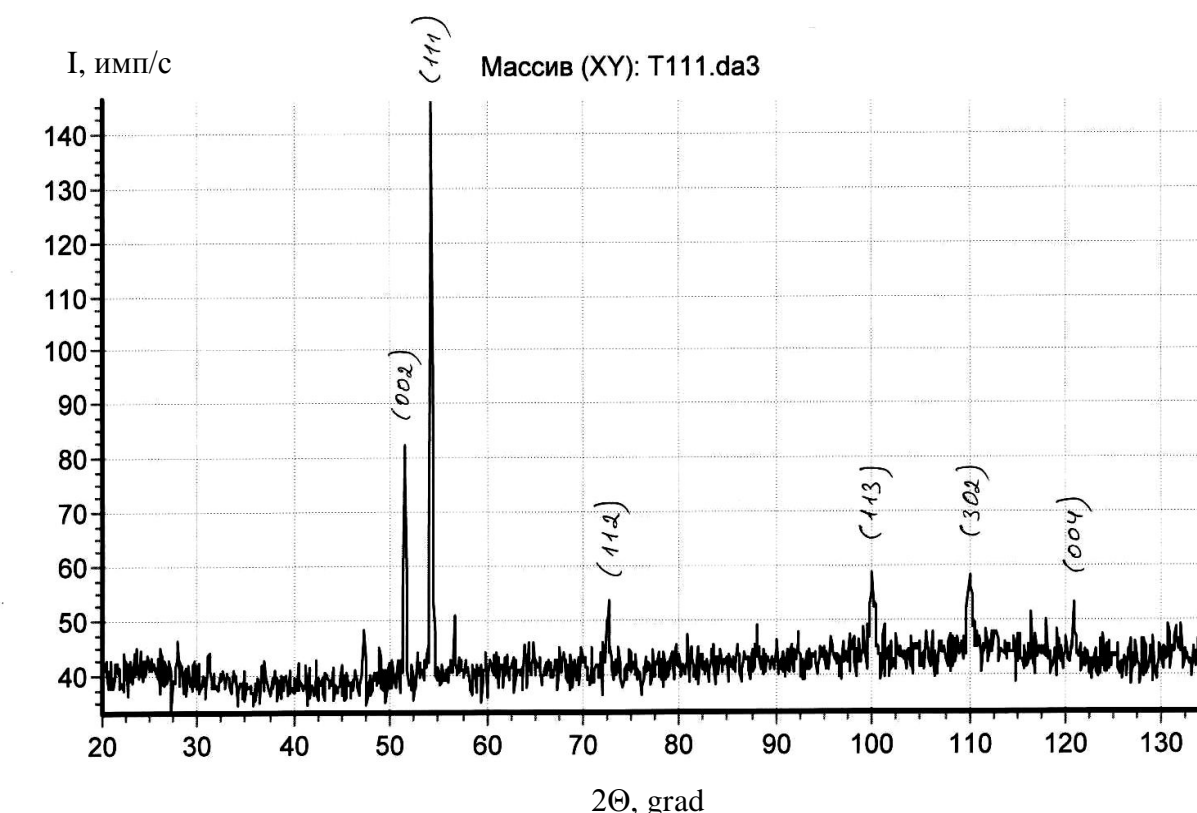


Рис. 1. Дифрактограмма покрытия толщиной 10 – 12 мкм на образце стали X12M

Определение элементного состава, методом рентгеновского флюоресцентного анализа, в области элементов от титана до урана, показало, что в покрытии кроме хрома содержится и железо.

В охватываемом спектре элементов, состав покрытия соответствовал, на стали X12M: Cr –  $86,029 \pm 0,981$  %, Fe –  $13,609 \pm 0,389$  %, Mo –  $0,362 \pm 0,026$  %; на стали ШХ15: Cr –  $92,431 \pm 0,04$  %, Fe –  $7,569 \pm 0,306$  %.

Информативная глубина данного анализа составляет  $\approx 11$  мкм.

Следовательно, можно утверждать, что покрытие представляет собой нитрид  $(\text{Cr}, \text{Fe})_2\text{N}$ .

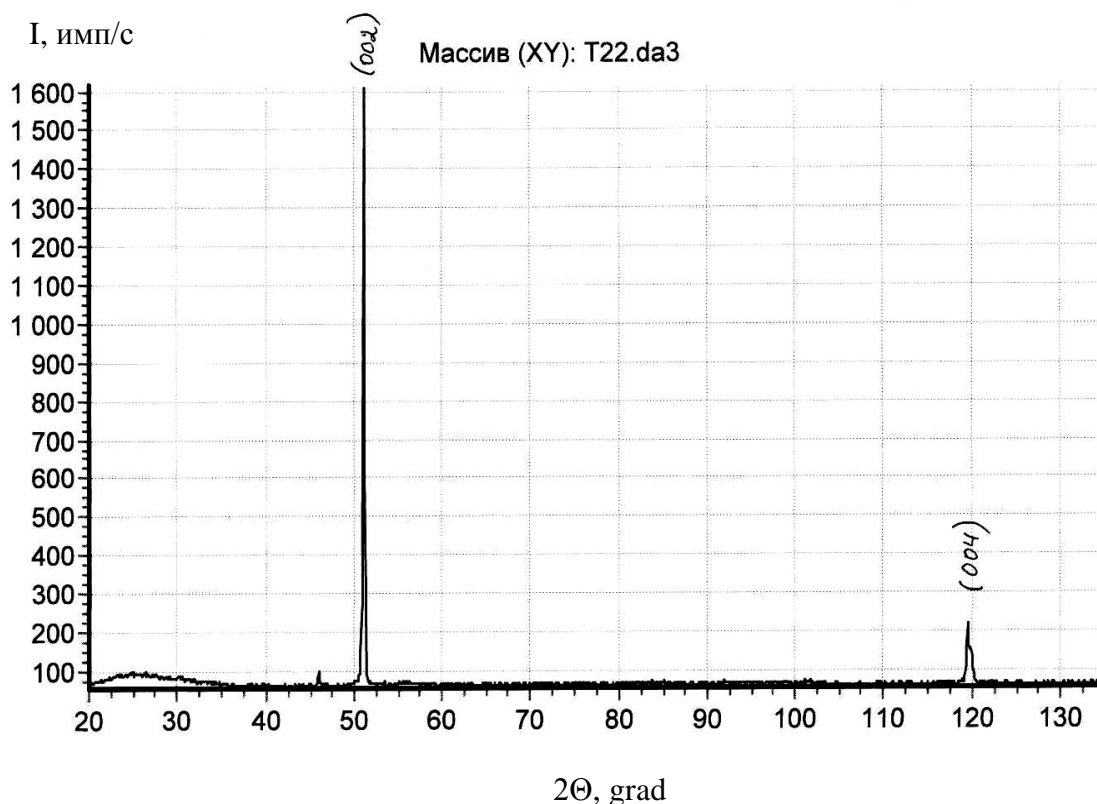


Рис. 2. Дифрактограмма покрытия толщиной 40 мкм на образце стали ШХ15

Кроме дифракционных линий кристаллической фазы  $(\text{Cr}, \text{Fe})_2\text{N}$ , на дифрактограмме, на рис. 3 выявляется широкое гало на малых углах, что свидетельствует о наличии аморфной фазы.

Таким образом, результаты проведенных исследований показали, что вследствие привнесенных технологических изменений, процесс диффузионного карбидного легирования обращается в процесс диффузионного легирования нитридом хрома  $(\text{Cr}, \text{Fe})_2\text{N}$ .

При этом следует подчеркнуть, что изменяется и сама физико-химическая природа процесса.

В отличие от самоорганизации карбидного слоя, при осаждении хрома из насыщающей среды и встречной диффузии углерода из матрицы стали,

образование нитрида хрома происходит целиком за счет осаждения хрома и азота из образующейся в контейнере реакционной газовой среды.

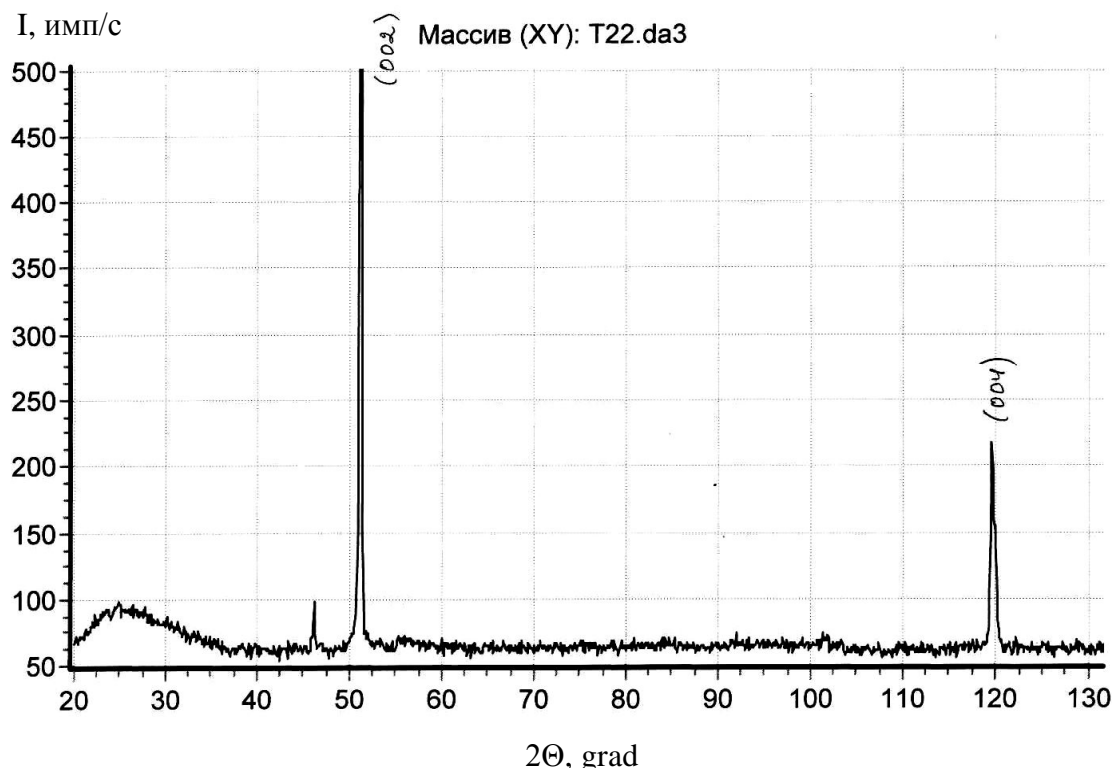


Рис. 3. Дифрактограмма покрытия толщиной 40 мкм, на стали ШХ15 (гало на малых углах)

### Выводы.

1. В результате применения новой методики активирования шихты,ключающейся в совместном введении азотсодержащего активатора ( $\text{NH}_4\text{Cl}$ ) и раскислителя (ферросиликохрома ФХС48), а также применения негерметичных контейнеров, качественно изменились состав и структура покрытий, образующихся при обработке по технологии ДКПЛ.

2. Как показали результаты рентгеновского и флуоресцентного анализа, основной фазой в образующемся покрытии является смешанный нитрид хрома  $(\text{Cr}, \text{Fe})_2\text{N}$ .

3. Установлено, что при увеличении температуры обработки и времени изотермической выдержки покрытие  $(\text{Cr}, \text{Fe})_2\text{N}$  имеет текстуру с плоскостями  $(00l)$ , параллельно поверхности подложки.

4. В результате технологических нововведений изменилась и сама физико-химическая природа процесса ДКПЛ.

В отличие от самоорганизации карбидного слоя, при осаждении хрома из насыщающей среды и встречной диффузии углерода из матрицы стали,

образование нитрида хрома происходит целиком, за счет осаждения хрома и азота из образующейся в контейнере реакционной газовой среды.

**Список литературы:** 1. Чуняева Л.О. Противокоррозионное карбидное легирование углеродистых сталей – ресурсосберегающий процесс / Л.О. Чуняева, И.И. Заец, О.Н. Чуняев // Физико-химическая механика материалов. – 2002. – № 3. – С. 483 – 488. 2. Колотырkin Я.М. Закономерность изменения коррозионной стойкости черных металлов / [Я.М. Колотыркин, И.И. Заец, И.Д. Зайцев и др.] // Сб. Открытия в СССР. – 1989. – С. 13. 3. Товажнянський Л.Л. Термодинаміка процесу дифузійного карбідного поверхневого легування / Л.Л. Товажнянський, О.М. Чуняєв, Л.О. Чуняєва // Фізико-хімічна механіка матеріалів. – 2006. – № 5. – С. 568 – 573. 4. А.с. 912772 СССР, МКлЗ С 23 С 9/02. Порошкообразный состав для титанохромирования стальных и чугунных изделий / И.И. Заец, И.Д. Зайцев, Г.А. Ткач (СССР). – № 2595419/22-02; заявл. 27.03.78; опубл. 15.03.82, Бюл. № 10. 5. Лоскутов В.Ф. Диффузионные карбидные покрытия / [В.Ф. Лоскутов, В.Г. Хижняк, Ю.А. Куницкий, М.В. Киндарчук]. – К.: Техника, 1991. – 168 с. 6. Чуняева Л.О. Коррозионно-механические свойства диффузионнолегированных сталей / Л.О. Чуняева, О.Н. Чуняев // Вестник НТУ “ХПИ”. – 2002. – № 9, Т. 2. – С. 33 – 38. 7. Дубинин Г.Н. Диффузионное хромирование сплавов / Г.Н. Дубинин. – М.: Машиностроение, 1964. – 451 с.

*Поступила в редакцию 30.10.10*